快速 FLAIR 序列在颅脑 MRI 中的应用

江利 孔祥泉 于群 常时新 肖学宏 梁波

【摘要】目的: 探讨快速液体衰减反转恢复序列(fluid attenuated inversion recovery, FLAIR) 在脑部疾病中的应用价值。方法: 对39例脑部疾病患者同时行常规MRT2 加权像及快速 FLAIR 检查, 比较两种序列对病灶的显示情况。结果: FLAIR 共检出病灶310 个,常规T2 加权像检出237 个FLAIR 显示病灶的轮廓更为清晰,病灶与正常脑组织的对比度更高,在显示脑组织深部皮层下、脑室旁病灶方面更有优势,可显示常规MRT2 加权像未能显示的侧裂池及脑表面脑沟的小出血病灶。结论: 快速 FLAIR 可作为颅脑MR 检查常规序列的补充,有助于提高病变的检出率,减少漏诊。

【关键词】 脑 磁共振成像 液体衰减反转恢复序列

The clinical application of fast FLAIR technique in MRI of the brain Jiang Li, Kong Xiangquan, Yu Qun, et al. Department of radiology, Xiehe Hospital of Tongji Medical University, Wuhan 430022

[Abstract] Purpose: To study the value of clinical application of fast FLAIR (fluid-attenuated inversion-recovery) in cerebral disease. Methods: 39 patients were studied with MR T₂WI and FLAIR simutaneously. The mode of presentation of the lesions were compared. Results: 310 lesions were displayed with FLAIR and 237 with T₂WI. The contours of the lesions were clearer in FLAIR than that showed in T₂WI. The contrast of lesion-to-normal and lesion-to-CSF (cerebrospinal fluid) were higher in FLAIR, which is particular of superiority to demonstrate lesions in the white matter or paraventricular area. Small hemorrhagic foci in Sylvian fissure and the cerebral sulci can be shown in FLAIR. Conclusion: As a complementary technique to conventional MR imaging, FLAIR is useful to improve the detection of the lesions.

Key words Brain MRI Fluid attenuated inversion-recovery

MR T₂ 加权像是颅脑 MR 检查的常规序列, 一般认为T₂ 加权像对病灶的检出相对敏感。对于T₂ 弛豫时间增加的病灶, 由于脑脊液为长 T₂ 信号, 部分病灶可被脑脊液的容积效应所掩盖。液体衰减反转恢复序列(fluidattenuated inversion recovery, FLAIR) 由于可抑制脑脊液的高信号, 从而使得病灶得以清晰显示 $^{[1^{-4}]}$ 。本文试图通过比较快速 FLAIR 和 SE 序列 T₂ 加权像对病灶的显示能力, 探讨快速 FLAIR 在颅脑 MRI 中的应用。

材料与方法

39 例患者, 年龄 13~76 岁(平均 53.3 岁), 男 25 例、 女 15 例。其中脑梗塞患者 16 例, 脑出血患者 7 例, 蛛网 膜下腔出血患者 5 例, 海绵状血管瘤患者 2 例, 肿瘤性 病变 3 例, 脱髓鞘疾病 1 例, 其他颅脑病变(包括蛛网膜 囊肿、脑软化灶) 5 例。肿瘤患者经手术及病理证实, 其 余病例经临床及综合影像学检查随访证实。

1. MR 检查

所有患者均采用 Siemens 公司 Magneton Vision 1.5T 超导 MR 扫描仪, 采用头部正交线圈, 常规行轴位快速

自旋回波(TSE) T₂ 加权像(TR 2735~ 3800ms, TE 102~ 90ms) 及同层面快速 FLAIR 成像(TR 9000~ 9500ms, TI 2500ms, TE 110ms), 视野 22~ 25cm, 采集矩阵 173~ 256× 256, 激励次数为 1, 成像时间 161s, 部分病例同时行 3D-TOF 脑血管成像。

2. 统计分析

比较 T_2 加权像及快速 FLAIR 成像对病变提供的诊断信息(病灶的数目、大小、边界、信号强度),并测量快速 FLAIR 与 T_2 加权像对比度(分别测定病灶与邻近正常脑组织及病灶与脑脊液的对比度)。

结果

39 例患者中, 快速 FLAIR 序列共发现病灶 310 个, T_2 加权像共发现病灶 237 个。在 T_2 加权像未发现的病灶中, 15 例脑梗塞患者中有 11 例(73.3%) 患者快速 FLAIR 检出病灶数多于 T_2 加权像, 这些病灶多位于顶叶皮层下深部脑组织(27 个) 或半卵圆中心(20 个), 部分位于脑室旁(8 个)、基底节区(4 个) 及脑表面(3 个)。12 例脑出血或蛛网膜下腔出血患者中, 有 7 例

430022 武汉. 同济医科大学附属协和医院放射科 (58.3%) 快速 FLAIR 示侧裂池. 脑室内. 额顶部脑沟高

信号 11 处, 而 T_2 加权像未显示或因与高信号脑脊液相混淆而无法分辨, 其中 2 例患者仅于快速 FLAIR 序列检出侧裂池及额顶部脑沟的高信号(图 1、2)。 39 例快速 FLAIR 和 T_2 加权像对病灶的检出结果见表 1。

表 1 快速 FLAIR 和常规 T2WI 显示病灶数目比较

正 亦	例数 -	显示病灶数		
病变		快速 FLAIR	T ₂ 加权像	
脑梗塞	16	266	204	
脑出血	7	20	15	
蛛网 膜下腔出血	5	9	3	
海绵状血管瘤	2	2	2	
肿瘤	3	3	3	
脱髓鞘疾病	1	5	5	
其他	5	5	5	
合计	39	310	237	

在快速 FLAIR 序列中, 病灶与邻近脑组织及脑脊液的对比度均高于传统 T_2 加权像。快速 FLAIR 与 T_2 加权像病灶及与邻近脑组织及脑脊液的对比度比较见表 2。

讨论

常规 MR T2 加权像因脑脊液呈高信号, 由其产生 的部分容积效应及流动伪影, 使脑室周围深部白质、大 脑皮质的小病灶及脑脊液腔内的病变不易显示。同 时, 随着 TE 的延长, 脑脊液的流动伪影和部分容积效 应也增加, 使 T₂ 的权重受到限制。而在 FLAIR 序列 中, 由于脑脊液信号被抑制, 可使用较长的 TE 产生脑 脊液信号为零的重 T_2 加权像[1]。FLAIR 序列的原理 是利用不同组织具有不同的T1值,在90°激励脉冲之 前施加 180°的翻转脉冲, 经过翻转时间(TI, 此序列中 TI =脑脊液的平均 T_1 值), 脑脊液的 T_1 值为零, 从而不 产生信号, 而颅内其他组织的 T1 值明显短于脑脊液, 在产生90°脉冲时几乎已完全恢复。常规 SE 的 FLAIR 序列需时达十几分钟、我们采用具有较长TE。ff的快速 SE(TSE) 技术, 结合翻转脉冲来抑制脑脊液的信号, 使 得成像时间可大大缩短, 不足 3min 即可得到较满意的 快速 FLAIR 图像。

快速 FLAIR 序列由于抑制了脑脊液的信号, 同时 T₂ 权重增加, 背景信号减低, 病灶与正常脑组织的对比及与脑脊液的对比均有显著性的增加^[1,2]。在快速 FLAIR 序列中, 由于病灶与邻近正常脑组织的对比度增加, 病灶更易于被发现。文献报道^[3], 对位于大脑皮层深部脑组织及脑室旁的脱髓鞘改变, 快速 FLAIR 的显示率优于T₂ 加权像。同时, 由于病灶与正常脑组织及脑脊液的对比度增加, 快速 FLAIR 像上病灶的边界多较 T₂ 加权像清晰。本组脑梗塞患者中, 有 47 个位于顶叶皮层下或半卵圆中心的病灶, T₂ 加权像未显示或显示模糊不易辨认, 而在相应层面的快速 FLAIR 像上可清楚地看到其边界及大小。由于快速 FLAIR 像上脑脊液的信号被抑制, 8 处脑室旁病灶在快速 FLAIR 像上脑脊液的信号被抑制, 8 处脑室旁病灶在快速 FLAIR 像上的确显示, 而这些病灶在T₂ 加权像上因脑脊液的部分容积效应未能认出(图 3、4)。

在7例脑出血和5例蛛网膜下腔出血患者中,有6 处侧脑室内的出血病灶在 T₂ 加权像上因被高信号的 脑脊液掩盖而未能检出,在快速 FLAIR 上因与低信号 脑脊液有明确的分界可清晰看到脑室内出血灶的大 小、边缘, 并可检出位于侧脑室角的小出血灶。 快速 FLAIR 对基底池、侧裂池及额顶部脑沟的出血灶较敏 感,表现为线状高信号。本组有一例烟雾病患者,平扫 仅见顶叶中线附近多发弯曲流空信号,快速 FLAIR 提 示双侧侧脑室枕角后方、双额叶脑沟内高信号影, 后经 MRA 检查发现双侧大脑前、中动脉狭窄、中断, 大脑后 动脉增粗迂曲,并可见多发网状血管影(图 5~7)。蛛 网膜下腔出血时由于出血为脑脊液稀释, 红细胞处于 过度水化状态, T2 弛豫增加; 另一方面, 蛛网膜下腔出 血时, 血性脑脊液中蛋白含量增加, 由于结合水效应及 顺磁效应, 脑脊液的 T1 值缩短。由于快速 FLAIR 仅抑 制自由水的信号,蛛网膜下腔出血时,血性脑脊液的信 号不能被抑制, 且在重 T2 加权像时, 背景脑组织 T2 衰 减更快. 故蛛网膜下腔出血在快速 FLAIR 上表现为高 信号[4,5]。 文献表明[5], 蛛网膜下腔出血发作 18~45 天内快速 FLAIR 均呈高信号。快速 FLAIR 对常规 MR

表 2 快速 FLAIR 和T2WI 显示病灶的信号强度及其与正常组织的对比度比较

	病 灶	正常脑组织	脑脊液	S_L/S_N	S _L /S _{CSF}
FLAIR	479.5±29.8	211. 3 ±13. 1	187. 6 ± 10. 8	1. 37±0. 74*	1. 56±0.81**
T ₂ 加权像	643.8 ± 39.1	362.6 ± 47.5	849.7 ± 41.6	1. 06 ± 0.54	0.34 ± 0.04

注: S_L : 病灶的信号强度, S_N : 正常脑组织的信号强度, S_{CSF} : 脑脊液的信号强度,

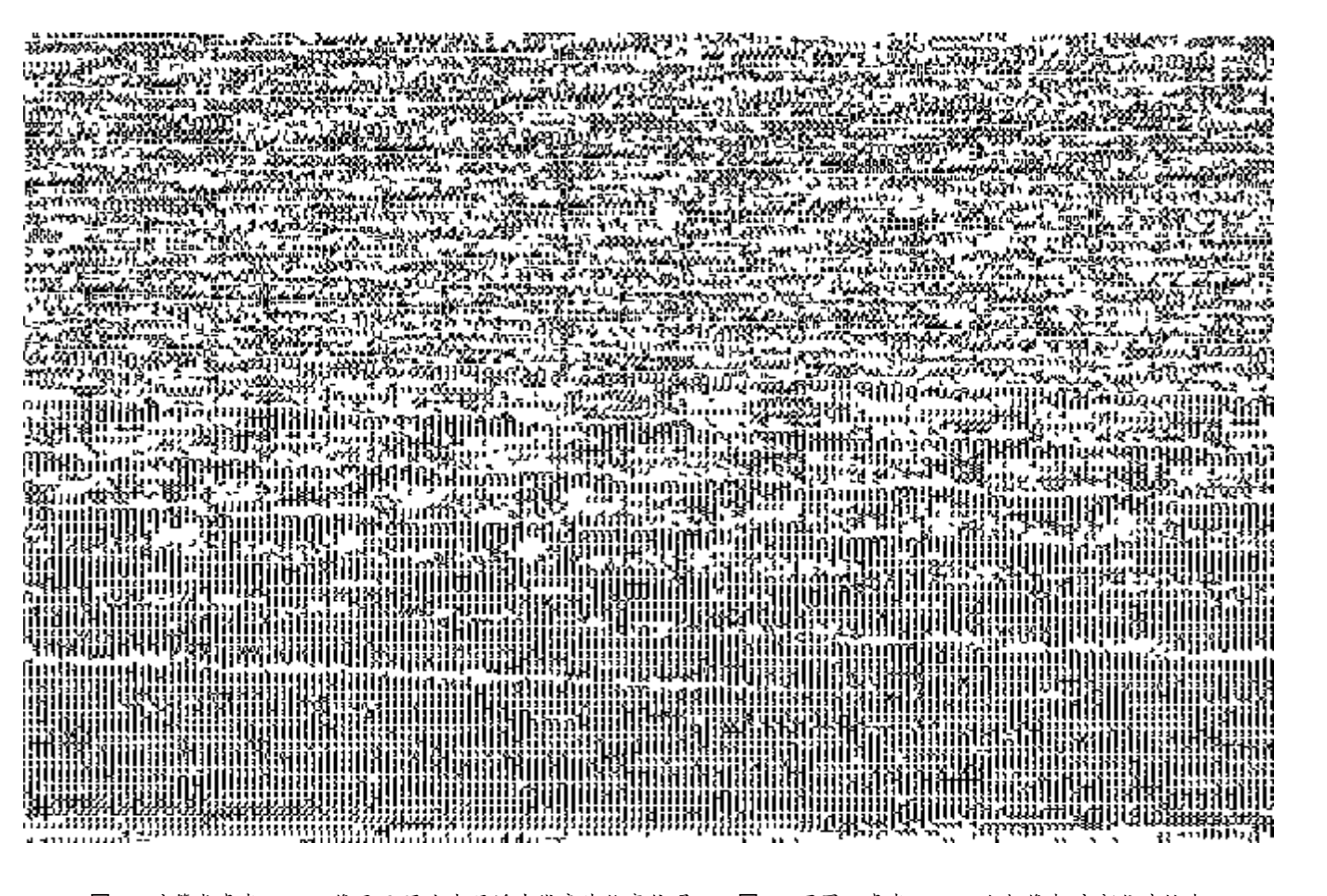


图 1 脉管炎患者,FLAIR 像显示顶叶皮层近中线旁片状高信号。 图 2 同图 1 患者,MR T₂ 加权像相应部位病灶与脑沟不易区分。 图 3 脑梗塞患者,FLAIR 像清楚显示脑室旁及大脑皮层下点状及片状高信号。 图 4 同图 3 患者,MR T₂ 加权像未能明确显示病灶。 图 5 烟雾病患者,FLAIR 像显示额叶脑沟内线状高信号。 图 6 同图 5 病例,MR T₂ 加权像示额叶脑沟 处高信号为脑脊液信号掩盖。 图 7 同图 5 病例,MRA 示双侧大脑前、中动脉中断,并见紊乱血管网 影。

不能发现的为脑脊液稀释的小面积的外侧裂和脑沟处的蛛网膜下腔出血较敏感。含铁血黄素在快速 FLAIR 上表现为低信号,本组有 2 例海绵状血管瘤患者,在快速 FLAIR 像与 T_2 加权像上的表现基本类似。

脑部的囊性病变及软化灶,由于其内含游离水, T_1 值与脑脊液相仿, T_2 加权像表现为高信号,快速 FLAIR 表现为低信号,有助于脑软化与脑梗塞的鉴别。在脑部的炎性病变,由于脑脊液中蛋白含量增加,快速 FLAIR 中脑脊液可表现为高信号^[6],本组 1 例顶叶感染的病例,快速 FLAIR 显示的病变范围较 T_2 加权像大。有文献表明,对肿瘤性病变, FLAIR 序列显示瘤体与水肿的界限更清晰^[7]。

本组有3例在T2加权像上判断为顶叶皮层下小腔梗的患者,对照快速 FLAIR 发现相应部位为低信号,提示该处可能是含脑脊液的脑沟断面,有助于区分

小的病灶与正常表现。

快速 FLAIR 与常规 T₂ 加权像相比,增加了病灶与周围脑组织的对比度,提高了病灶的检出率,有利于检出大脑深部脑组织、半卵圆中心及脑室旁的病灶,对侧裂池及额顶部脑沟的小出血病灶更敏感。同时,采用宽带选层翻转脉冲或非选层翻转脉冲可有效地减少脑脊液的流动伪影,获得满意的图像。我们认为,快速FLAIR 可作为颅脑 MR 检查的常规序列。对于常规MR 未显示而临床又可疑的某些病变,采用快速 FLAIR 可减少漏诊。

参考文献

1 John NR, Charlotte AH, Roger CC, et al. Initial clinical experience in MR imaging of the brain with a fast fluid-attenuated inversion-recovery pulse se-

quence. Radiology, 1994, 193 173-180. hing House. All rights reserved. http://www.cnki.net

- 2 Joseph VH, David JB, Larry K, et al. Use of fluid attenuated inversion-recovery (FLAIR) pulse sequences in MRI of brain. J Comput Assist Tomogr, 1992, 16 841-844.
- 3 Jack CR, Rydberg CH, Krecke KN, et al. Mesial temporal sclerosis: diagnosis with fluid-attenuated inversion-recovery versus spin-echo MR imaging. Radiology, 1996, 199. 367-373.
- 4 Noguchi K, Ogawa T, Inugami A. et al. Acute subarachnoid hemorrhage: MR imaging with fluid-attenuated inversion-recovery pulse sequence. Radiology, 1995, 196–773-777.
- 5 Noguchi K, Ogawa T, Seto H, et al. Subacute and chronic subarachnoid hermorrhage: diagnosis with fluid-attenuated inversion-recovery MR imaging. Radiology, 1997. 203 257-262.
- 6 Melhem ER, Jara H, Eustace S. Fluid-attenuated inversion-recovery MR imaging: identification of protein concentration threshholds for CSF hyperintensity. AJR, 1997, 169–862.
- 7 黄美萍, 王学健, 梁长虹, 等. 颅脑 MRI 快速液体衰减反转回复技术 探讨. 中华放射学杂志, 1997, 31: 379-383.

(1999-01-18 收稿)

小儿慢性肠穿孔并弥漫性腹膜炎 1 例

徐祖高 邵剑波

患儿,女,6岁10个月。无明显诱因进行性腹胀伴持续发热3月,阵咳伴腹痛1周。发热以夜间为主,伴盗汗,不伴呕吐、腹泻、咯血、胸痛等。且食欲差,进行性消瘦。体检:重度营养不良貌。颌下、颈部、腹股沟浅表淋巴结数个,黄豆大小,部分融合。心肺听诊未见异常。腹部显著膨隆,腹围64cm。腹壁静脉显露,未见肠型。腹肌较紧张,全腹轻压痛,无反跳痛。移动性浊音阳性。肠鸣音弱,偶可闻及。

血常规: WBC 12.3×10°/L,N81.4%,L11.2%;ESR 119mm/h;Ant+Tb阳性;AFP正常。B超提示腹部积脓可能。X线平片示腹腔巨大积气、积液,首先考虑囊肿;造影见少量造影剂进入囊肿腔示囊肿与肠管相通。CT平扫见中上腹部巨大气液平,其内见散在脂防密度影,CT值-50HU;积液边缘可见数个大小不



- 图 1 CT 平扫见中下腹部巨大气液平面,积液后缘见斑点状高密度影, CT 值 166HU。积液左后方见软组织影突入其内。后方软组织分 界不清。
- 图 2 增强扫描气液内部未见强化实质影,积液内见多个散在点状低密度 影,CT值-50HU。积液后方软组织不均匀强化。

等的点状钙化影, CT 值 166~ 236HU; 肠管及胰腺等向后推移; 后腹部软组织分界不清, 双肾盂扩张。CT 增强片上肝、脾、肾实质未见异常; 后腹部软组织稍强化, 分界仍不清; 气液内部未见强化灶(图 1,2)。CT 诊断: ¹ 畸胎瘤并感染可能; ④腹腔积液(腹腔结核待排); 四双肾盂轻度积水。

手术所见 大网膜、腹膜与腹壁严重粘连。大网膜粘连成板、挛缩。腹腔充满粪汁、恶臭。胃、肝、胆、小肠、大肠等均粘连成板、水肿、糜烂,难以辨认。病理诊断:(大网膜)急性炎症伴出血和坏死形成。

讨论 目前, 小儿慢性肠穿孔已很少见。此病例在我院近 几十年来首次发现。此患儿病史长达3个月之久,无典型的肠 穿孔的表现, 如高热、腹痛、呕吐, 甚至休克等, 而表现为发热、 盗汗、进行性消瘦、腹胀等,似结核性腹膜炎的表现;同时 CT 片 中显示有钙化及脂肪成份。以上是此例误诊的主要原因。但 是,此病例 CT 片中显示巨大气液平,首先应想到空腔脏器穿孔 的可能性,不能被不典型的临床症状所迷惑。本病例肠梗阻症 状不明显; 另外,即使伴有感染,肿瘤或囊肿内部一般不会产生 大量气体, 亦不支持巨大占位性病变的诊断。 X 线造影检查时 显示有少量造影剂进入积液内,应考虑到肠穿孔可能,但同时 应与继发性巨结肠相鉴别。继发性巨结肠因其远端梗阻引起, 而此患儿排便尚通畅,故可基本排除。对于此患儿肠穿孔的原 因,由于术中各器官组织分辨不清,从临床病史中亦难确定穿 孔原因。从影像检查中更无法确定穿孔病因。但肠穿孔的原 因,一般以胃肠道炎症多见,其次为溃疡病,绞窄性肠梗阻、肠 道肿瘤坏死穿孔、伤寒回肠穿孔等相对少见。

(1998-12-14 收稿)